

Trabajo Practico Programacion Concurrente

Juan Manuel Giron

2018

Índice

1. Introduccion	1
2. Desarrollo	2
2.1. Red De Petri	2
2.2. Eventos y Estados	2
2.3. Analisis De La Red De Petri	3
2.3.1. Hilos	4
2.4. Invariantes	4
2.4.1. Invariantes de Plaza	5
2.4.2. Invariantes de Transicion	5
2.5. Sistema Monitor Usando Programacion Orientada a Objetos . .	6
2.5.1. Diagrama De Clases	6
2.5.2. Diagrama De Secuencia	6
2.5.3. Verificacion De Invariantes	7
3. Conclusion	8
4. Bibliografia	8

1. Introduccion

Este trabajo tiene como objetivo la simulacion de un estacionamiento de autos. Esta simulacion se realizara haciendo uso de hilos y una Red de Petri, la cual debe cumplir con las condiciones establecidas en el enunciado del problema.

2. Desarrollo

2.1. Red De Petri

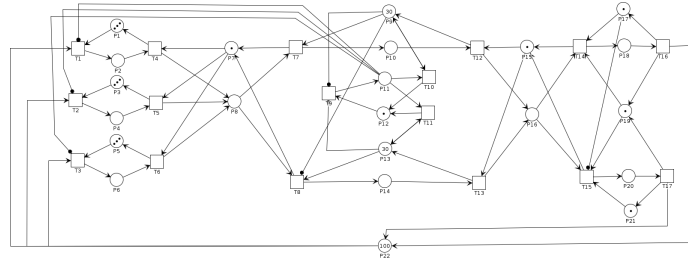


Figura 1: Red de Petri que modela el estacionamiento

2.2. Eventos y Estados

Las siguientes tablas tienen como objetivo exponer el significado físico de las transiciones y plazas en la red de petri.

Transiciones	Eventos
T1	Auto ingresa por calle 1
T2	Auto ingresa por calle 2
T3	Auto ingresa por calle 3
T4	Auto pasa barrera 1
T5	Auto pasa barrera 2
T6	Auto pasa barrera 3
T7	Auto ingresa al primer piso
T8	Auto ingresa al segundo piso
T9	Encender cartel
T10	Apagar cartel por espacio disponible en piso 1
T11	Apagar cartel por espacio disponible en piso 2
T12	Auto sale del primer piso
T13	Auto sale del segundo piso
T14	Auto entrando a caja calle 1
T15	Auto entrando a caja calle 2
T16	Auto saliendo calle 1
T17	Auto saliendo calle 2

Cuadro 1: Tabla de eventos.

Plazas	Estados
P1	Espacios disponibles de espera antes de la barrera 1
P2	Autos esperando antes de la barrera 1
P3	Espacios disponibles de espera antes de la barrera 2
P4	Autos esperando antes de la barrera 2
P5	Espacios disponibles de espera antes de la barrera 3
P6	Autos esperando antes de la barrera 3
P7	Lugar disponible en la calle de entrada
P8	Auto circulando por la calle de entrada
P9	Lugares disponibles para estacionar en el primer piso
P10	Autos estacionados en el primer piso
P11	Cartel encendido, es decir no hay lugar
P12	Cartel apagado, es decir hay lugar
P13	Lugares disponibles para estacionar en el segundo piso
P14	Autos estacionados en el segundo piso
P15	Lugar disponible en la calle de salida
P16	Auto circulando por la calle de salida
P17	Calle de salida 1
P18	Auto pagando en la calle de salida 1
P19	Cajero/caja
P20	Auto pagando en la calle de salida 2
P21	Calle de salida 2
P22	Autos totales

Cuadro 2: Tabla de estados.

2.3. Analisis De La Red De Petri

Al realizar un analisis sobre la red de petri se pueden determinar las siguientes propiedades:

- Vivacidad: Al realizar el analisis concluimos que todas las transiciones de la red pueden ser disparadas siempre y las que no pueden se verifica que existe una secuencia de disparos que llevan a su sensibilizacion y posterior disparo, por lo tanto se puede afirmar que la red tiene Vivacidad.
- Seguridad: La condición para que una Red de Petri sea segura es que cada plaza que la compone debe tener como maximo un token. Por lo tanto esta red no es segura.
- Limitación: Una Red de Petri está limitada si todos las plazas están limitados por un numero natural k , es decir que todas las plazas pueden contener a lo sumo k -token. Por lo tanto la red es limitada.
- Libre de conflicto y conflictos estructurales: Se dice que existe un conflicto estructural cuando al menos dos transiciones tienen una plaza en común. Podemos observar que esto se cumple dos veces en esta red, por lo que

no es libre de conflictos y tiene conflictos estructurales. Ambos conflictos quedan denotados como: $K = \langle P_8 \{T_7, T_8\} \rangle$ $K = \langle P_{16} \{T_{14}, T_{15}\} \rangle$.

- Libre elección: Una red es de libre elección cuando las transiciones que participan en un conflicto tienen una sola plaza de entrada. Por lo tanto se puede afirmar que no tiene libre elección.
- Simple: La red es simple ya que las transiciones solo se ven afectadas por solo un conflicto.
- Pura: Una Red de Petri es pura cuando no posee ningun auto-loop. En esta red se encuentran dos auto-loop, por lo tanto no es pura. Estos auto-loops se deben a que se utilizaron para modelar los arcos lectores.
- Capacidad finita: Cuando las plazas de la red están limitadas a un número máximo de tokens, se dice que tiene capacidad finita, en este caso las plazas pueden contener infinitos token por lo que la red no es de capacidad finita. Pero esto solo es debido a que las capacidades fueron modeladas a traves de una red ordinaria.
- Red de Petri No-autónoma: Una RdP no-autónoma es aquella que está sincronizada/temporizada. Por lo tanto es no-autónoma.
- Interbloqueo: Se dice que una red presenta interbloqueo si tiene deadlock, es decir alguna marca alcanzable desde donde no se puede disparar ninguna otra transición. Por lo tanto esta red está libre de interbloqueo.
- Persistencia: Se dice que una Red de Petri es persistente si para cada transición se cumple que dicha transición sólo puede ser desensibilizada por su propio disparo. Por lo tanto y al existir conflicto estructural, esta red no es persistente.
- Conservación: Se dice que una Red de Petri cumple con esta propiedad si los tokens que se generan y consumen en la red permanecen constantes. Por lo tanto es conservativa.

2.3.1. Hilos

Una vez terminado el diseño de la red se procede a determinar la cantidad de hilos, donde se establecio que cada hilo disparara una transicion quedando asi un total de 17 hilos.

2.4. Invariantes

Los invariantes permiten caracterizar propiedades de las marcas alcanzables y de las tansiciones inalterables, independientemente de la evolucion, a conti-nuacion se analizaran los invariantes de plaza y transicion.

2.4.1. Invariantes de Plaza

Un invariante de plaza es un subconjunto de lugares $P = \{P_1, P_2, \dots, P_n\}$ y un vector de ponderacion $\{q_1, q_2, \dots, q_n\}$ para el cual todos los pesos q_i son enteros positivos tales que cumplen con:
 $q_1 * m(P_1), q_2 * m(P_2), \dots, q_n * m(P_n) = K$ (constante) para cada $m \in M(m_0)$.
Al analizar la red obtenemos los siguientes p-invariantes:

- $M(P0) + M(P1) = 3$
- $M(P2) + M(P3) = 3$
- $M(P4) + M(P5) = 3$
- $M(P6) + M(P7) = 1$
- $M(P8) + M(P9) = 30$
- $M(P12) + M(P13) = 30$
- $M(P14) + M(P15) = 1$
- $M(P16) + M(P17) = 1$
- $M(P19) + M(P20) = 1$
- $M(P17) + M(P18) + M(P19) = 1$
- $M(P1) + M(P3) + M(P5) + M(P7) + M(P9) + M(P13) + M(P15) + M(P17) + M(P19) + M(P21) = 100$
- $M(P10) + M(P11) = 1$

2.4.2. Invariantes de Transicion

Un invariante de transicion es aquella secuencia de transiciones disparadas tal que el estado de marcado final es igual al inicial. Al analizar la red obtenemos los siguientes t-invariantes:

- $\{T0, T3, T6, TB, TD, TF\}$
- $\{T0, T3, T6, TB, TE, TX\}$
- $\{T0, T3, T7, TC, TD, TF\}$
- $\{T0, T3, T7, TC, TE, TX\}$
- $\{T1, T4, T6, TB, TD, TF\}$
- $\{T1, T4, T6, TB, TE, TX\}$
- $\{T1, T4, T7, TC, TD, TF\}$
- $\{T1, T4, T7, TC, TE, TX\}$

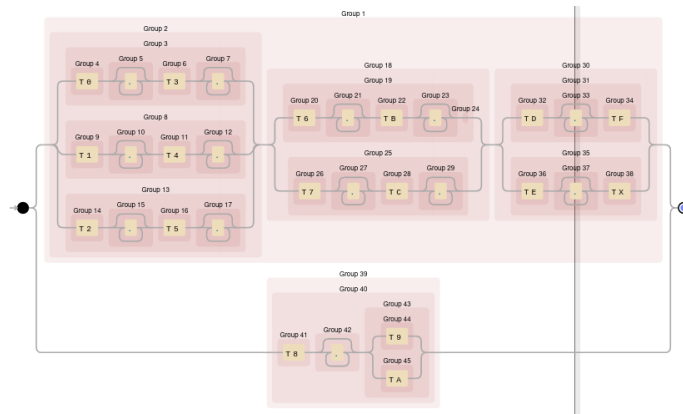


Figura 4: Diagrama del patron.

3. Conclusion

Tras la finalización del presente trabajo se puede llegar a las siguientes conclusiones. Se aprendió las ventajas y desventajas de la programación concurrente. Algunas ventajas son la veloz ejecución y tiempo de respuesta en un entorno multihilos, otra ventaja es la mejor utilización de las capacidades de los procesadores modernos. Algunas de las desventajas son la dificultad de debuggeo, ya que en un principio se presentaron problemas de exclusión mutua que no se cumplieron al ingresar al recurso compartido.

También se puede destacar las ventajas de realizar simulaciones con Redes de Petri, siendo las principales:

- El respaldo matemático que nos provee ya que esta nos brinda capacidad de validación contra anomalías como son los bloqueos y fallas en la exclusión mutua.
- Facilidad para modelar las características relevantes de los sistemas concurrente (Concurrencia, sincronización, bloqueos, etc.)
- Análisis y animación mediante simuladores basados en evento discretos.

4. Bibliografía

- Ecuación de estado generalizada para redes de Petri no autónomas y con distintos tipos de arcos. Dr. Ing. Orlando Micolini¹, Geol. Marcelo Cebo-llada y Verdager, Ing. Maximiliano Eschoyez, Ing. Luis Orlando Ventre, Ing. Marcelo Ismael Schild. Laboratorio de Arquitectura de Computadoras (LAC) FCEfYN Universidad Nacional de Córdoba.
- <https://www.debuggex.com/>.

- <https://docs.python.org/3/library/re.html>